

粘土の「応力-変形」の挙動について

京都大学防災研究所 正員 村山湖郎
国 錄 正員 ○森沢雅正

1. まえがき 粘土の応力変形の挙動は時間とか温度に影響され、いかゆるレオロジー的特性をもっている。22では粘弾性理論の特性関数を用いて、正規圧密粘土の非排水クリープ、応力緩和試験における応力変形の挙動を有効応力の面より考察してみた。

2. 線型粘弾性の理論 線型粘弾性材料に応力 $O(t)$ とひずみ $\epsilon(t)$ を作用させたときのひずみ、応力の応答はそれと組合せの関係から

$$E(t) = \frac{1}{E_0} O(t) + \int_0^t g(t-t') O(t') dt' + \frac{1}{\eta_0} \int_0^t O(t') dt' \quad (1)$$

$$O(t) = E_0 \epsilon(t) + \int_0^t k(t-t') \epsilon(t') dt' \quad (2)$$

と表わされ $g(t), h(t)$ をそれをクリープコントラインス、緩和弾性率とすると $g(t), k(t)$ は

$$g(t) = df(t)/dt, \quad k(t) = dh(t)/dt \quad (3)$$

$g(t)$ とか $k(t)$ が定まれば E_0, E_0, η_0 などの定数が決定できれば材料の力学的性質がわかるうことになるから、これらのが特性関数と看える。一般化フオーラト模型と一般化マックスウェル模型を考えそれらの分布関数あるいはスペクトルを考慮するとこれらは明らかに数学的に変換できるからこれらとの重ね合わせの理論と一般化フオーラト模型あるいは一般化マックスウェル模型とは等価であるといえる。したがって22では材料の性質を表すスペクトルとして

$$J(\tau) = [g(t)]_{t=\tau}, \quad E(\tau) = [k(t)]_{t=\tau} \quad (4)$$

を用い実際には $J(\tau), E(\tau)$ を $\log \tau$ 軸に対してもプロットした $J(\log \tau), E(\log \tau)$ をスペクトルと呼ぶことにする。これらの $J(\tau)$ と $E(\tau)$ の間には関係式が存在し一般化フオーラト模型と一般化マックスウェルモデルまたは(1)式と(2)式は等価なものである。いま

$$\bar{f}(t) = \frac{1}{E_0} + f(t) + \frac{1}{\eta_0}, \quad \bar{h}(t) = E_0 + h(t) \quad (5)$$

とすれば $\bar{f}(t)$ と $\bar{h}(t)$ の間に次の一種 Volterra の積分方程式が得られる。

$$\int_0^t \bar{h}(t-t') \bar{f}(t') dt' = t \quad (6)$$

3. 実験結果 圧密圧力 $O_c = 2.0 \text{ kg/cm}^2$ の試料にクリープ、応力 $O_d = 0.18 \text{ %}/\text{cm}^2$ 、緩和ひずみ $\epsilon = 0.18 \text{ %}$ を与えた試験結果を(6)式により比較すると図-1に示すように100分まではよく一致する。このとき O_m' の変化も100分近くまで両試験とも同じような値で変化しており100分を過ぎたところからクリープにあたる O_m' の減少が大きくなりそれに同時にこられる曲線は一致しなくなることが認められた。 $O_c = 2.0 \text{ kg/cm}^2$ の試料に半排水結果なるクリープ応力 O_d を作用させた結果をスペクトル表示したもののが図-2である。

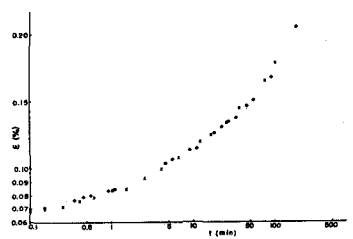


図-1 (6)式の検証

○クリープ試験の実測値

×応力緩和試験の実測値を整理した値

$$\Delta \log \tau = -\alpha_s \Delta \sigma_m' \quad (\Delta \sigma_m' = \sigma_m' - \sigma_0) \quad (7)$$

なる線型性が近似できるとして図-2の遅延スペクトルを観測した $\Delta \sigma_m'$ によりシフトされた分だけ補正したもののが図-6のスペクトルである。このとき用いた α_s は 0.96 である。次に $\sigma_0 = 0.4 \text{ kg/cm}^2$ を $\sigma_c = 1.0, 2.0, 3.0 \text{ kg/cm}^2$ で圧密した試料に作用させたときの遅延スペクトルは図-7である。これらはスペクトルはほぼ平行でありもし $\Delta \sigma_c$ に対するシフト量を

$$\Delta \log \tau = \alpha_c \Delta \sigma_c \quad (\Delta \sigma_c = \sigma_c - \sigma_0) \quad (8)$$

と仮定すれば α_c は約 0.34 が得られる。図-7のスペクトルも $\Delta \sigma_m'$ によりシフトされていてあるからこれがこれらせん断の $\Delta \sigma_m'$ はみな同じような値であり α_c の値は $\Delta \sigma_m'$ によって補正を行なわずに求めても大差はない。以上により本試料の α_s と α_c の値が求められたので往復の応力で圧密し往復の応力をクリアード試験を行なったときのスペクトルが解析できる。図-8は各種の応力状態でのクリアード試験の結果のスペクトル表示である。これらのスペクトルを(7)式にしたがって $\alpha_s = 0.96$ を用いてシフトされた分を補正したものが図-9に示すスペクトルである。これらはスペクトルの間隔が圧密圧力の影響によるものと考えられ、その結果はほぼ等間隔となつており(8)式がこの程度の圧密圧力の差においては有効であることがわかる。そしてこの結果から得られる α_c の値もまさに求めた $\alpha_c = 0.34$ とはほぼ等しい値を得ている。特徴的に行ことは $\Delta \sigma_m', \Delta \sigma_c$ によりシフトされた分を補正したスペクトルは図-6に示すように勾配が 45° を保つスペクトルとなつてゐることである。スペクトルが 45° を保つ直線となることはスペクトルがシフトされないような状態においては $\Delta \log \tau$ 関係が直線関係のいわゆる箱型スペクトルである。三軸クリアード試験においては図-10に示すように $\Delta \log \tau$ の関係は直線とはならず上向きの曲線となるのは、このようシフトの仮定が正しいとするならば σ_m' の変化に対するダイテタンシー効果により有効応力的に材料が弱くなる傾向であるとの推測である。

したがつて長期のクリアードまでは長期の一次元圧密において σ_m' の変化がせん断中にほとんど生じなくなつた状態でのクリアード特性は箱型スペクトルか $\Delta \log \tau$ の直線関係が観測されるであろう。また粘土の非線型性もこのように考慮すると温度と同じような状能率と類似して考慮する σ_m' がそれまでのクリアード試験において裏打石ために観測された現象である。

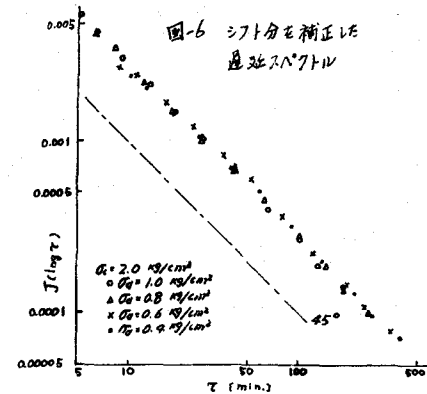


図-6 シフト分を補正した
遅延スペクトル

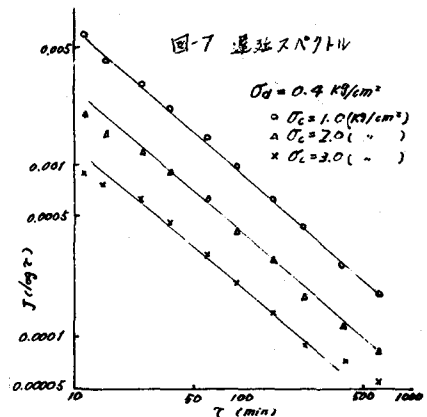


図-7 遅延スペクトル

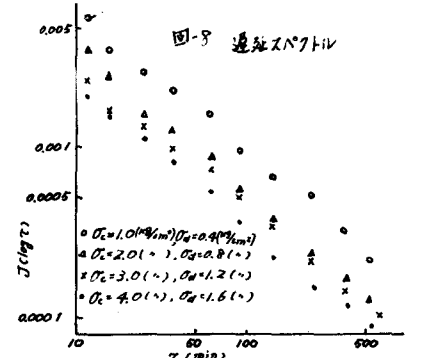


図-8 遅延スペクトル

粘土がまし線型粘弹性の物質であるからスペクトルは一致せねばならぬ。しかし結果によると α_0 が大きい程(2)時 α_m は小さい)図上に右側にシフトされるようなスペクトルとなつてゐる。応力緩和の結果をスペクトル表示したもののが図-3でありそれが大きい程(2)のとき α_m は小)左側にシフトされるようなスペクトルが得られる。

(2) 飯田¹¹のレオロジーテスト(一軸)の結果をスペクトル表示したもののが図-4、図-5であり遅延スペクトルは温度が高くなると右側にシフトされる緩和スペクトルは逆に左側にシフトされる。すなはち粘土(正規)においては温度が高い状態と α_m が小さい状態とが定性的に同じ傾向。スペクトルと云つてゐることがわかる。(b)式は温度が一定の場合に成立することを考慮すれば遅延スペクトルと緩和スペクトルのシフトの方向が逆の傾向であるのは明白である。いま一つの仮定をする。 α_m の変形に及ぼす影響は温度が変形に及ぼす影響と定性的に同じであり α_m の方がよりスペクトルが時間軸に平行にシフトされるために粘土の変形特性が非線型として観測される。

2のシフトの仮定は次のことがらも推測できる。(1) Cakmak¹² が等方圧的単純な物質と名づけたように粘土はクリープ時の圧密圧力が大きいほど左側に遅延スペクトルがシフトされる。圧密圧力とせん断中の α_m とが定性的に同様の影響を変形に及ぼすと考えれば α_m が大きい状態と α_m が小さい状態は傾向が同一である。

(2) 高分子材料の中に温度によるスペクトルが時間軸に平行にシフトされるもの

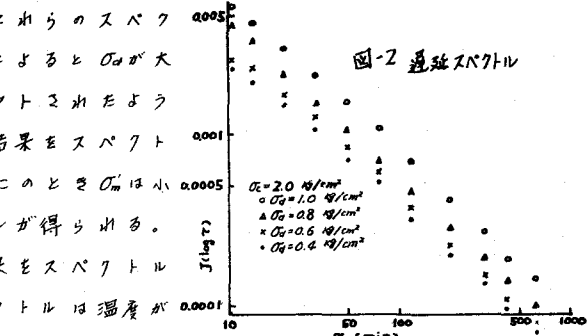


図-2 遅延スペクトル

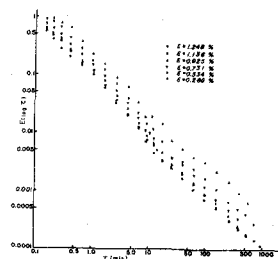


図-3 緩和スペクトル

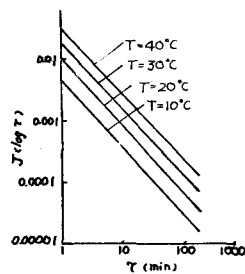


図-4 遅延スペクトル
(飯田)

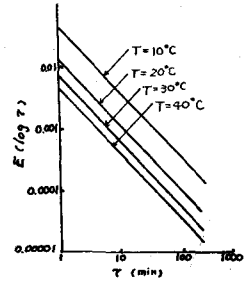


図-5 緩和スペクトル
(飯田)

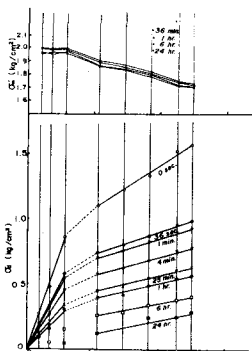
門田¹³が熱レオロジー的に単純な物質と呼ばれるものが正規粘土においてもこのようなスペクトルを考へたときに温度によつても α_m によつてもシフトの理象が生じてゐる。(3)これらシフト量はせん断の活性化エネルギーと密接な関係があり粘土においても Mitchell¹⁴ が指摘したように α_m と温度とが同じような形でせん断の活性化エネルギーに影響を及ぼす。(4) Bishop¹⁵ の排水クリープの結果をスペクトル表示すると時間の長いところでは排水クリープのスペクトルとはシフトの方向が逆でありこれらは有効応力を考へれば材料が強くなる方向と弱くなる方向の運動であり α_m とが α_m によるシフトを考へれば有効に論じうると思われる。高分子材料におけるシフトの量 $\Delta \log$ では温度差 ΔT とは比例関係にはない。 α_m によるシフト量と比例関係にはないと言えらるが一応近似として $\Delta \alpha_m$ が大きいときに

と思われる。確かに応力緩和試験においては図-11に示すように応力時間的に同じように変化していふ部分では応力ひずみ関係の線型性が成立している。クリープ試験においては応力の非常に小さな領域では従来下限降伏値を表わす所と同様に他とは異なるかすみ応答を示すがこれら下限降伏値は粘土のダイラタニシ特性が応力やひずみの非常に小さな領域では他とは異なる挙動を示すためと考えられる。

緩和スペクトルにおいては図-11に示した応力の小さなところの線型部分では図-12に示すようにほぼ一つの曲線となっており非線型の部分では図-3に示したように時間軸に関してシフトされたようなスペクトルを得ている。これらを(7)式と同様に

$$\Delta \log \tau = B_5 t^{m_5} \quad (9)$$

を仮定してシフトされたものを補正したものが図-13である。これからも $\varepsilon = 0.925\%$ のスペクトルを除いてはほぼ一つの曲線となりこのときの B_5 は約 0.90 である。



↑ 図-12 緩和スペクトル

← 図-11 応力緩和試験の応力ひずみ関係

このスペクトルは直線ではなくレカモフ初期を除いて 45° とはなっていない。これは応力緩和クリープの実験に用いた再圧密粘土は若干不飽和であり装置の都合でこの試験ではバックプレッシャーをかけなかったことが影響しているものと思われる。確かにこの応力緩和試験においてはひずみレベルの低いところでは緩和弾性率が 0 となることが観測された。観測時間中に間隔を水圧が減少しておりこれは不飽和を裏づけていふと思われる。

参考文献

- (1) 飯田邦雄 “粘土のレオロジー特性に関する3・2・3の研究”修士論文2101 (1966)
- (2) Cakmak A.S. "Shift Function for Hydrorheologically - Simple Clays" private paper (1968)
- (3) Mitchell J.K. "Shear Resistance of Soils as a Rate Process" A.S.C.E. SM1 Vol.90 (1964)
- (4) Bishop A.W. "The Strength of Soils as Engineering Materials" 6th Rankine Lecture Geotek. Vol.16 (1966)

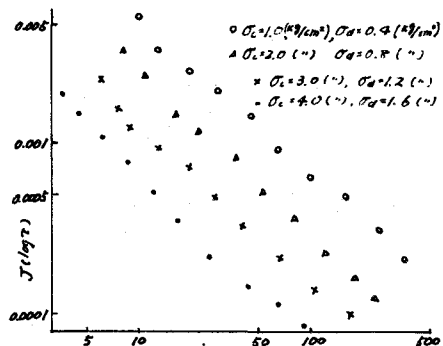


図-9 シフト分を補正した緩和スペクトル

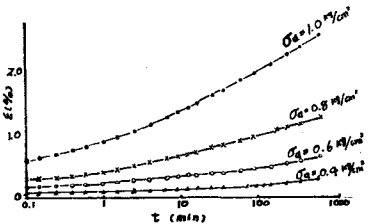


図-10 クリープ曲線

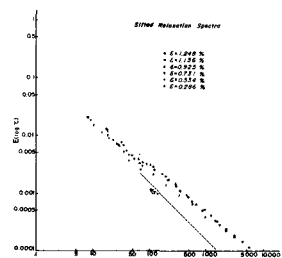


図-13 シフト分を補正した緩和スペクトル